

$${}^A[I_A]_O = \begin{bmatrix} I_{Axx} & 0 & I_{Axx} \\ 0 & I_{Ayy} & 0 \\ I_{Axx} & 0 & I_{Azz} \end{bmatrix} \quad (۴)$$

$${}^A[I_E]_O = {}^A[I_E]_O(\theta) = \begin{bmatrix} I_{Exx} & I_{Exy} & I_{Exz} \\ I_{Exy} & I_{Eyy} & I_{Eyz} \\ I_{Exz} & I_{Eyz} & I_{Ezz} \end{bmatrix} \quad (۵)$$

صفر بودن برخی از المان‌ها در ${}^A[I_A]_O$ به تقارن پایه لانچر از دید دستگاه سمت مربوط می‌شود. بیان بردارهای R_C ، R و H در دستگاه سمت نیز به ترتیب زیر خواهد بود.

$$\begin{aligned} {}^A R &= [r_x \ 0 \ r_z]^T, \quad {}^E R'_C = [r'_{c1} \ r'_{c2} \ 0]^T \\ {}^A R'_C &= {}^A R + {}^A E C {}^E R'_C = [r_x + r'_{c1} C \theta \ r'_{c2} \ r_z - r'_{c1} S \theta]^T \\ {}^A H &= \begin{bmatrix} h_x \\ h_y \\ h_z \end{bmatrix} = \begin{bmatrix} I_{Axx} \dot{\psi} \\ 0 \\ I_{Azz} \dot{\psi} \end{bmatrix} + \begin{bmatrix} I_{Exx} \dot{\theta} + I_{Exz} \dot{\psi} \\ I_{Eyy} \dot{\theta} + I_{Eyz} \dot{\psi} \\ I_{Eyz} \dot{\theta} + I_{Ezz} \dot{\psi} \end{bmatrix} \\ &+ m_E \dot{\theta} \begin{bmatrix} r_x r'_{c2} \\ (-r_x C \theta + r_z S \theta) r'_{c1} - (r_x^2 + r_z^2) \\ r_z r'_{c2} \end{bmatrix} \end{aligned} \quad (۶)$$

بر اساس رابطه گشتاور که در رابطه (۳) بیان شده داریم:

$$\begin{aligned} {}^A M &= P {}^A H + {}^A \omega_{IA} \times {}^A H, \\ \begin{bmatrix} M_x \\ M_y \\ M_z \end{bmatrix} &= P \begin{bmatrix} h_x \\ h_y \\ h_z \end{bmatrix} + \begin{bmatrix} 0 \\ 0 \\ \dot{\psi} \end{bmatrix} \times \begin{bmatrix} h_x \\ h_y \\ h_z \end{bmatrix} = \begin{bmatrix} \dot{h}_x - h_y \dot{\psi} \\ \dot{h}_y + h_x \dot{\psi} \\ \dot{h}_z \end{bmatrix} \end{aligned} \quad (۷)$$

با توجه به رابطه (۶) و مشتق‌گیری از h_z از رابطه زیر بدست می‌آید.

$$\begin{aligned} M_z &= (I_{Azz} + I_{Ezz}) \dot{\psi} + \dot{I}_{Ezz, \theta} \dot{\theta} \dot{\psi} \\ &+ (I_{Eyz} + m_E r_z r'_{c2}) \dot{\theta} + \dot{I}_{Eyz, \theta} \dot{\theta}^2 \end{aligned} \quad (۸)$$

که در آن

$$\dot{I}_{Ezz, \theta} = \frac{d I_{Ezz}}{d \theta}, \quad \dot{I}_{Eyz, \theta} = \frac{d I_{Eyz}}{d \theta} \quad (۹)$$

و M_z مولفه سوم گشتاور وارد بر لانچر، در دستگاه سمت است. این گشتاور می‌تواند از دو منشأ حاصل گردد که یکی اصطکاک و دیگری گشتاور اعمالی از خارجی می‌باشد. گشتاور اصطکاک را که با M_{zf}

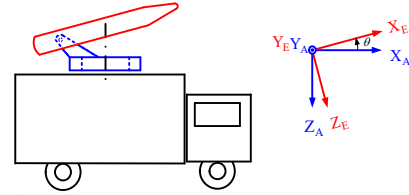
نشان می‌دهیم، معمولاً به صورت زیر مدل می‌شود.

$$M_{zf} = C_z \dot{\psi} + C_{zp} \operatorname{sgn}(\dot{\psi}) \quad (۱۰)$$

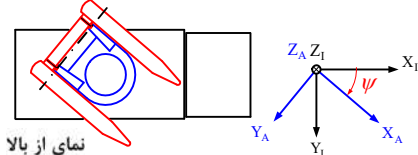
که در آن C_z ضریب اصطکاک لزجتی و C_{zp} ضریب اصطکاک کولمب است که از اصطکاک ناشی از چرخش قطعات بر روی همدیگر و در یاتاقان‌ها و اسلوبیرینگ‌ها ایجاد می‌گردد. به این ترتیب رابطه (۸) را می‌توان به صورت زیر نوشت.

$$\begin{aligned} M_{ze} &= (I_{Azz} + I_{Ezz}) \dot{\psi} + C_z \dot{\psi} + C_{zp} \operatorname{sgn}(\dot{\psi}) \\ &+ \dot{I}_{Ezz, \theta} \dot{\theta} \dot{\psi} + (I_{Eyz} + m_E r_z r'_{c2}) \dot{\theta} + \dot{I}_{Eyz, \theta} \dot{\theta}^2 \end{aligned} \quad (۱۱)$$

گشتاور اعمالی از خارج (M_{ze}) از طریق یک موتور الکتریکی و توسط یک جعبه‌دنده دارای لقی با ضریب گیربکس k_g ایجاد می‌شود. اگر چرخ‌دنده‌های جعبه‌دنده درگیر باشند. آنگاه گشتاور اعمالی به لانچر k_g برابر گشتاور مکانیکی ایجاد شده توسط موتور ($M_{z, mec}$) می‌باشد. اگر چرخ‌دنده‌های جعبه‌دنده درگیر نباشند، آنگاه گشتاور اعمالی به لانچر صفر است. به عبارت دیگر



نمای از کنار



نمای از بالا

شکل ۱- لانچر و دستگاه‌های مختصات تعریف شده

شکل، ماتریس‌های دوران دستگاه اینرسی-دستگاه سمت، دستگاه اینرسی-فراز و دستگاه اینرسی و فراز به صورت زیر خواهد بود.

$$\begin{aligned} {}^A C &= \begin{bmatrix} \cos \psi & -\sin \psi & 0 \\ \sin \psi & \cos \psi & 0 \\ 0 & 0 & 1 \end{bmatrix}, \quad {}^E C = \begin{bmatrix} \cos \theta & 0 & \sin \theta \\ 0 & 1 & 0 \\ -\sin \theta & 0 & \cos \theta \end{bmatrix} \\ {}^E C &= {}^A C {}^E C = \begin{bmatrix} \cos \psi C \theta & -\sin \psi & \cos \psi \sin \theta \\ \sin \psi C \theta & \cos \psi & \sin \psi \sin \theta \\ -\sin \theta & 0 & \cos \theta \end{bmatrix} \end{aligned} \quad (۱)$$

سرعت زاویه‌ای دستگاه سمت نسبت به اینرسی و سرعت زاویه‌ای دستگاه فراز نسبت به اینرسی که به ترتیب با ω_{IE} و ω_{IA} نشان داده می‌شوند، برابر است با

$$\begin{aligned} {}^A \omega_{IA} &= [p_a \ q_a \ r_a]^T = [0 \ 0 \ \dot{\psi}]^T \\ {}^E \omega_{IE} &= \begin{bmatrix} p_e \\ q_e \\ r_e \end{bmatrix} = \begin{bmatrix} 1 & 0 & -\sin \theta \\ 0 & 1 & 0 \\ 0 & 0 & \cos \theta \end{bmatrix} \begin{bmatrix} 0 \\ \dot{\theta} \\ \dot{\psi} \end{bmatrix} \end{aligned} \quad (۲)$$

۳- معادلات دینامیکی پایه لانچر

لانچر از دو بخش صلب تشکیل شده که بخش اول، پایه لانچر و بخش دیگر، قسمت اصلی لانچر نامیده می‌شود. می‌توان در نظر گرفت که پایه لانچر به نقطه O و قسمت اصلی لانچر به نقطه O' که در این شکل نشان داده شده، لولا گردیده است. این نقطه با حرکت لانچر در کانال سمت جابجا شده و بنابراین نقطه‌ای غیر اینرسی است. بر این اساس، معادله گشتاور در چنین شرایطی به صورت زیر خواهد بود.

$${}^A M = P {}^A H + {}^A \omega_{IA} \times {}^A H \quad (۳)$$

$${}^A H = {}^A [I_A]_O {}^A \omega_{IA} + {}^A [I_E]_O {}^A \omega_{IE} + m_E {}^A R'_C \times (P {}^A R - {}^A \omega_{IE} \times {}^A R)$$

که در آن H بردار اندازه حرکت زاویه‌ای، $P {}^A H$ مشتق اندازه حرکت زاویه‌ای نسبت به دستگاه سمت، ${}^A [I_A]_O$ ماتریس ممان اینرسی پایه لانچر و ${}^A [I_E]_O$ ماتریس ممان اینرسی بخش اصلی لانچر در دستگاه سمت و حول نقطه O می‌باشند. R'_C بردار جابجایی است که از نقطه O آغاز شده و به محل مرکز جرم بخش اصلی لانچر ختم می‌شود. R نیز بردار جابجایی از نقطه O تا O' است. این بردارها در شکل ۲ نشان داده شده است. در زیر ساختار ماتریس ممان اینرسی ${}^A [I_A]_O$ و ${}^A [I_E]_O$ با توجه به ساختار لانچر آورده شده است.

می کند اگر

$$\begin{cases} \alpha_m > k_g \alpha_L & \psi_{bl} = \frac{\psi_{G,max}}{2} \\ \alpha_m < k_g \alpha_L & \psi_{bl} = -\frac{\psi_{G,max}}{2} \end{cases} \quad (17)$$

برای مدل سازی فرایند لقی، لازم است که $\dot{\psi}_m$ و $\dot{\psi}$ پس از درگیری و عدم درگیری مشخص شود. برای این منظور حالت های زیر را در نظر می گیریم.

• **لحظه درگیری ($t = t_c$)**

فرض کنید که در لحظه t_c^- چرخ دنده ها در حالت عدم درگیری و در لحظه t_c^+ در حالت درگیری می باشند. همچنین فرض می شود که $\dot{\psi}(t_c^-)$ و $\dot{\psi}_m(t_c^-)$ مشخص می باشند. هدف تعیین $\dot{\psi}(t_c^+)$ و $\dot{\psi}_m(t_c^+)$ می باشد. با استفاده از اصل بقای اندازه حرکت می توان نوشت.

$$\begin{aligned} & {}^A [I_L]_O {}^A \omega_{IA}(t_c^+) + {}^A C^M [I_m]_{O'} {}^M \omega_{IM}(t_c^+) \\ &= {}^A [I_L]_O {}^A \omega_{IA}(t_c^-) + {}^A C^M [I_m]_{O'} {}^M \omega_{IM}(t_c^-) \end{aligned} \quad (18)$$

طبق شکل ۳ داریم.

$$\begin{aligned} & {}^A \omega_{IA} = [0 \quad 0 \quad \dot{\psi}]^T, \quad {}^M \omega_{IM} = [0 \quad 0 \quad -\dot{\psi}_m]^T \\ & {}^A [I_L]_O = \begin{pmatrix} - & - & - \\ - & - & - \\ - & - & I_{Lzz} \end{pmatrix}, \quad {}^M [I_m]_{O'} = \begin{pmatrix} - & - & - \\ - & - & - \\ - & - & I_{mzz} \end{pmatrix} \end{aligned} \quad (19)$$

نماد «-» به منزله بی اهمیت بودن مقدار درایه متناظر می باشد. ماتریس دوران بین دستگاه سمت و دستگاه چسبیده به موتور به صورت زیر خواهد بود.

$${}^A C = \begin{bmatrix} \cos(\psi_m - \psi) & -\sin(\psi_m - \psi) & 0 \\ \sin(\psi_m - \psi) & \cos(\psi_m - \psi) & 0 \\ 0 & 0 & 1 \end{bmatrix} \quad (20)$$

از طرفی پس از درگیری چرخ دنده ها رابطه زیر برقرار می باشد.

$$\dot{\psi}_m(t_c^+) = -k_g \dot{\psi}(t_c^+) \quad (21)$$

با جایگذاری روابط (۱۹)، (۲۰) و (۲۱) در رابطه (۱۸) و در نظر گرفتن درایه سوم، رابطه به صورت زیر درمی آید.

$$\dot{\psi}(t_c^+) = \frac{I_{Lzz} \dot{\psi}(t_c^-) - I_{mzz} \dot{\psi}_m(t_c^-)}{I_{Lzz} + k_g I_{mzz}} \quad (22)$$

• **لحظه عدم درگیری ($t = t_{nc}$)**

مانند حالت قبل فرض کنید که در لحظه t_{nc}^- چرخ دنده ها در حالت درگیری و در لحظه t_{nc}^+ در حالت عدم درگیری هستند. چون گشتاور اعمالی توسط موتور نمی تواند شامل توابع ضربه باشد، بنابراین $\dot{\psi}_m$ نمی تواند به طور پله ای تغییر کند. به عبارت دیگر

$$\dot{\psi}_m(t_{nc}^-) = \dot{\psi}_m(t_{nc}^+) \quad (23)$$

با جایگذاری رابطه (۲۳) در رابطه (۱۸) نتیجه می شود.

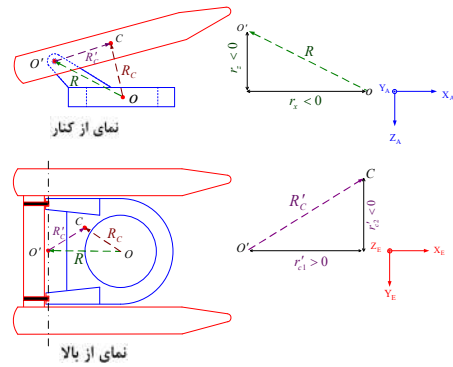
$$\dot{\psi}(t_{nc}^-) = \dot{\psi}(t_{nc}^+) \quad (24)$$

بخشی از گشتاور الکتریکی ایجاد شده توسط موتور (M_{zm}) صرف غلبه بر اصطکاک خود موتور و بقیه توسط جعبه دنده منتقل می شود. اصطکاک موتور (M_{zmf}) نیز مانند قبل به صورت زیر در نظر می گیریم.

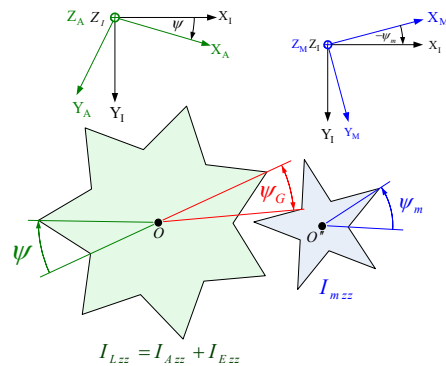
$$M_{zmf} = C_{zmf} \dot{\psi}_m + C_{zmp} \operatorname{sgn}(\dot{\psi}_m) \quad (25)$$

ممان اینرسی کل پایه لانچر برابر است با

$$I_A(\theta) = I_{Azz} + I_{Ezz}(\theta) + \lambda k_g^2 I_{zm} \quad (26)$$



شکل ۲- نمایش بردارهای R, R_C و R'_C



شکل ۳- شماتیکی از وضعیت دو چرخ دنده و دستگاه های متناظر با آن

$$M_{ze} = \begin{cases} -k_g M_{zme} & \text{if contact} \\ 0 & \text{if no contact} \end{cases} \quad (12)$$

برای یافتن شرایط درگیری و عدم درگیری شکل ۳ را در نظر بگیرید که در آن معرف زاویه میان دو چرخ دنده از دید چرخ دنده متناظر با لانچر می باشد. بدون آنکه از کلیت موضوع کاسته شود، فرض کنید که

$$\text{if } \psi - \psi_m = 0 \Rightarrow \psi_G = \frac{\psi_{G,max}}{2} \quad (13)$$

که در آن $\psi_{G,max}$ فاصله زاویه ای میان دو چرخ دنده است. آنگاه با تعریف

$$\psi_{bl} = \psi - \frac{1}{k_g} \psi_m \quad (14)$$

درگیری میان دو چرخ دنده زمانی رخ می دهد که

$$|\psi_{bl}| = \frac{\psi_{G,max}}{2} \quad (15)$$

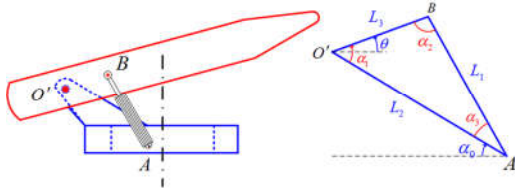
بنابراین رابطه (۱۲) را می توان به صورت زیر نوشت.

$$M_{ze} = \begin{cases} -k_g M_{zme} & |\psi_{bl}| = \frac{\psi_{G,max}}{2} \\ 0 & |\psi_{bl}| < \frac{\psi_{G,max}}{2} \end{cases} \quad (16)$$

اگر α_m شتاب زاویه ای ناشی از ممان اینرسی مجموعه موتور (I_{mzz}) بدون در نظر گرفتن ممان اینرسی لانچر (I_{Lzz}) و α_L شتاب زاویه ای ناشی از ممان اینرسی لانچر بدون در نظر گرفتن ممان اینرسی مجموعه موتور باشد، می توان گفت درگیری چرخ دنده ها ادامه پیدا

$$L_1 = L_0 + k\theta_m \quad (37)$$

که در آن L_1 طول جک، L_0 طول اولیه جک، θ_m موقعیت شفت موتور و k نسبت تبدیل حرکت دورانی به خطی می‌باشد.



شکل ۴- نمایش جایگاه جک‌ها بر روی سیستم

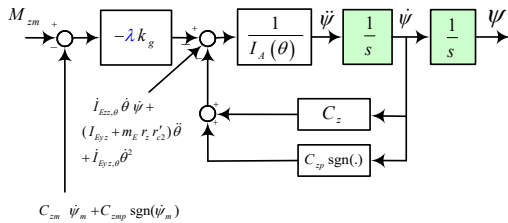
با توجه به شکل ۴، گشتاور اعمالی به قسمت اصلی لانچر حول نقطه O' (M_2) بر حسب نیرو جک (F) برابر است با

$$M_{2e} = 2L_3 F \sin \alpha_2 \quad (38)$$

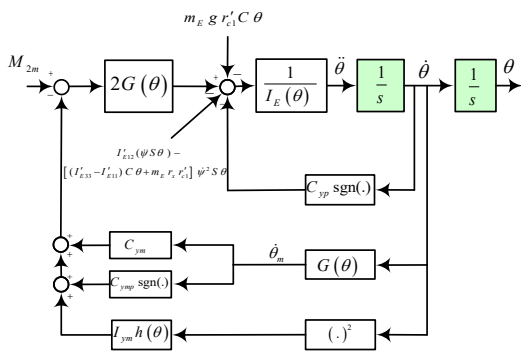
ضریب ۲ در رابطه به خاطر وجود دو جک در سیستم می‌باشد. با فرض اینکه توان مکانیکی جک و موتور جک با هم برابر است (عبارت دیگر فرض ایده آل بودن عملکرد مبدلی جک) داریم،

$$\begin{cases} F \dot{L}_1 = M_{2mm} \dot{\theta}_m \\ \dot{L}_1 = k \dot{\theta}_m \end{cases} \quad (39)$$

با توجه به شکل ۴ جایگذاری رابطه (۳۹) در رابطه (۳۸) رابطه زیر را می‌توان نوشت.



شکل ۵- دیاگرام بلوکی کانال سمت



شکل ۶- دیاگرام بلوکی کانال فراز

$$M_{2e} = \left[\frac{L_2 L_3 \sin(\theta + \alpha_0)}{k} \right] M_{2mm} = 2G(\theta) M_{2mm} \quad (40)$$

که در آن

در رابطه بالا پارامتر λ به صورت زیر تعریف می‌شود.

$$\lambda = \begin{cases} 1 & |\psi_{bl}| = \frac{\psi_{G,max}}{2} \\ 0 & |\psi_{bl}| < \frac{\psi_{G,max}}{2} \end{cases} \quad (27)$$

بنابراین رابطه (۱۱) به صورت زیر تبدیل می‌شود.

$$\begin{aligned} \lambda k_g M_{2m} &= \lambda k_g [C_{2m} \dot{\psi}_m + C_{2mp} \text{sgn}(\dot{\psi}_m)] \\ + [I_A(\theta) \ddot{\psi} + C_z \dot{\psi} + C_{zp} \text{sgn}(\dot{\psi}) + \dot{I}_{E22,\theta} \dot{\theta} \dot{\psi} \\ + (I_{E33} + m_E r'_c2) \ddot{\theta} + \dot{I}_{E32,\theta} \dot{\theta}^2] \end{aligned} \quad (28)$$

۴- معادلات دینامیکی قسمت اصلی لانچر

در [۹]، معادله گشتاور برای جسم صلبی که به نقطه غیر اینرسی O' لولا شده، محاسبه گردیده است.

$$\begin{aligned} M' &= P_E H' + \omega_{IE} \times H' + m_E R'_C \times P_I^2 R \\ E H' &= {}^E [I_E]_{O'} E \omega_{IE} \end{aligned} \quad (29)$$

که در آن ${}^E [I_E]_{O'}$ ماتریس ممان اینرسی بخش اصلی لانچر است. این ماتریس حول نقطه O' و در دستگاه مختصات فراز محاسبه گردیده و به صورت زیر می‌باشد.

$${}^E [I_E]_{O'} = \begin{bmatrix} I'_{E11} & I'_{E12} & 0 \\ I'_{E12} & I'_{E22} & 0 \\ 0 & 0 & I'_{E33} \end{bmatrix} \quad (30)$$

با توجه به ضابطه H' در (۲۹) و ساختار ماتریس ممان اینرسی بالا داریم:

$$E H' = \begin{bmatrix} h'_1 \\ h'_2 \\ h'_3 \end{bmatrix} = \begin{bmatrix} I'_{E11} p_e + I'_{E12} q_e \\ I'_{E12} p_e + I'_{E22} q_e \\ I'_{E33} r_e \end{bmatrix} \quad (31)$$

$P_I^2 R$ و $P_I R$ طبق قاعده کوریولیس [۴] برابر است با

$$P_I^2 R = P_A (\omega_{IA}) \times R + \omega_{IA} \times (\omega_{IA} \times R) \quad (32)$$

بیان این بردار در دستگاه فراز برابر است با

$$E P_I^2 R = {}^E_A C^A P_I^2 R = r_x \begin{bmatrix} -\dot{\psi}^2 \cos \theta & \ddot{\psi} & -\dot{\psi}^2 \sin \theta \end{bmatrix}^T \quad (33)$$

از ترکیب رابطه بالا با روابط (۲۹) و (۳۱) عبارت زیر نتیجه می‌شود.

$${}^2 M' = \begin{bmatrix} M'_1 \\ M'_2 \\ M'_3 \end{bmatrix} = \begin{bmatrix} h'_1 + q_e h'_3 - r_e h'_2 \\ h'_2 - p_e h'_3 + r_e h'_1 \\ h'_3 + p_e h'_2 - q_e h'_1 \end{bmatrix} + m_E r_x \begin{bmatrix} -r'_{c2} \dot{\psi}^2 \sin \theta \\ r'_{c1} \dot{\psi}^2 \sin \theta \\ r'_{c2} \dot{\psi}^2 \cos \theta + r'_{c1} \ddot{\psi} \end{bmatrix} \quad (34)$$

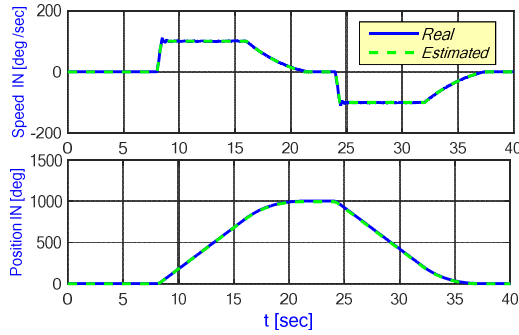
با توجه به رابطه بالا و رابطه (۳۱) به صورت زیر بدست می‌آید.

$$\begin{aligned} M'_2 &= I'_{E22} \ddot{\theta} - I'_{E12} (\dot{\psi} \sin \theta) \\ &+ [(I'_{E33} - I'_{E11}) \cos \theta + m_E r'_x r'_{c1}] \dot{\psi}^2 \sin \theta \end{aligned} \quad (35)$$

بخشی از گشتاور M'_2 ناشی از اصطکاک M_{2f} ، بخشی ناشی از گرانس M_{2g} و بخش دیگر ناشی از گشتاور اعمالی از خارج M_{2e} می‌باشد. به این ترتیب داریم.

$$M'_2 = M_{2e} - M_{2f} - M_{2g} = M_{2e} - C_{yp} \text{sgn}(\dot{\theta}) - m_E g r'_{c1} \cos \theta \quad (36)$$

گشتاور M_{2e} طبق شکل ۴ توسط دو جک الکتریکی ایجاد می‌شود. می‌توان در یک نگاه ساده ساختار جک را شامل یک پیچ - مهره و یک موتور الکتریکی دانست. موتور الکتریکی با چرخاندن مهره باعث جابجایی پیچ و در نتیجه تغییر طول جک مطابق زیر می‌شود.



شکل ۷- خروجی حاصل از مدل و سیستم عملی

۶- نتیجه‌گیری

در این مقاله، به مدل‌سازی یک لانچر زمین به هوا پرداخته شده است. در این راستا روابط دینامیکی بین ورودی‌ها و خروجی‌های سیستم بدست آمد. همچنین اثر اصطکاک و لقی در مدل‌سازی در نظر گرفته شد. نشان داده شد که هر ورودی بر هر دو خروجی تأثیر می‌گذارد. نتایج حاصل از شبیه‌سازی و سیستم واقعی نشان داد که مدل‌سازی صورت گرفته از دقت کافی برخوردار است.

۷- مراجع

- [1] Rubio, Francisco R., et al, Application of position and inertial-rate control to a 2-DOF gyroscopic platform, Robotics and Computer-Integrated Manufacturing, Vol. 26, No.4, pp. 344-353, 2010.
- [2] Ramirez, Pedro J., and Andrés R. Guesalaga, A Friction Model Describing Limit Cycles in Positioning Servos, The Journal of Defense Modeling and Simulation, Vol. 6, No.4, pp. 177-184, 2009.
- [3] Fang, J, Rui Yin, and Xusheng Lei, An adaptive decoupling control for three-axis gyro stabilized platform based on neural networks, Mechatronics, Vol. 27, pp. 38-46, 2015.
- [4] Königseder, Franz, Wolfgang Kemmetmüller, and Andreas Kugi, Attitude control strategy for a camera stabilization platform, Mechatronics, Vol. 46, pp. 60-69, 2017.
- [5] Shah, Syed Awais Ali, et al, Sampled data gyroscope stabilization of two degree of freedom platform. In *13th IEEE International Bhurban Conference on Applied Sciences and Technology (IBCAST)*, 2016.
- [6] Dong, Fei, Xusheng Lei, and Wusheng Chou, A dynamic model and control method for a two-axis inertially stabilized platform, IEEE Transactions on Industrial Electronics, Vol. 64, No.1, pp. 432-439, 2016.
- [7] Ding-guo, Zhang, and Xiao Jian-qiang. "A dynamic model for rocket launcher with coupled rigid and flexible motion." *Applied Mathematics and Mechanics* 26.5 (2005): 609-617.
- [8] Kamişli, Hamza, Metin U. Salamci, and Bülent Özkan. "Dynamic modeling of an electromechanically-actuated launcher." *2016 17th International Carpathian Control Conference (ICCC)*. IEEE, 2016.

$$G(\theta) = \begin{bmatrix} \frac{L_2 L_3 \sin(\theta + \alpha_0)}{k} \\ L_1 \end{bmatrix} \quad (41)$$

$$L_1 = [L_2^2 + L_3^2 - 2L_2 L_3 \cos(\theta + \alpha_0)]$$

در رابطه بالا گشتاور حول نقطه O' (M_{2e}) بر حسب گشتاور مکانیکی موتور جک نوشته شده در حالی که ورودی تحت کنترل سیستم، گشتاور الکتریکی M_{2m} موتور جک می‌باشد. بنابراین روابط باید بر حسب این ورودی نوشته شود. قسمتی از گشتاور الکتریکی تولید شده در موتور جک M_{2m} ، صرف غلبه بر اصطکاک موتور M_{2mf} شده و قسمت دیگر صرف غلبه بر ممان اینرسی موتور می‌گردد. گشتاور باقیمانده M_{2mm} پس از عبور از یک گیربکس غیرخطی با ضریب $G(\theta)$ صرف شتاب دادن به قسمت اصلی لانچر می‌گردد. به این ترتیب داریم.

$$M_{2e} = 2G(\theta)M_{2mm} = 2G(\theta)(M_{2m} - M_{2mf} - I_{ym}\ddot{\theta}_m) \quad (42)$$

که در آن I_{ym} ممان اینرسی موتور جک می‌باشد. مانند قبل اصطکاک موتور جک به صورت زیر مدل می‌گردد.

$$M_{2mf} = C_{ym}\dot{\theta}_m + C_{ymp} \operatorname{sgn}(\dot{\theta}_m) \quad (43)$$

با مشتق‌گیری از معادله دوم رابطه (۴۱) داریم.

$$\dot{L}_1 = \frac{L_2 L_3 \sin(\theta + \alpha_0)}{L_1} \dot{\theta} \quad (44)$$

با توجه به رابطه بالا و روابط (۳۷) و (۴۱) می‌توان رابطه زیر را نوشت.

$$\ddot{\theta}_m = G(\theta)\dot{\theta}, \quad \ddot{\theta}_m = G(\theta)\dot{\theta} + \frac{dG(\theta)}{d\theta}\dot{\theta}^2 \quad (45)$$

که در آن

$$\frac{dG(\theta)}{d\theta} = \frac{L_2 L_3 \cos(\theta + \alpha_0)}{k} - \frac{(L_2 L_3)^2 \sin^2(\theta + \alpha_0)}{L_1^3} \quad (46)$$

با جایگذاری رابطه بالا و رابطه (۴۵) در رابطه (۴۲) و با توجه به رابطه (۳۵) رابطه ورودی- خروجی کانال فراز به صورت زیر حاصل می‌گردد.

$$M_{2m} = C_{ym}G(\theta)\dot{\theta} + C_{ymp} \operatorname{sgn}(G(\theta)\dot{\theta}) + \frac{dG(\theta)}{d\theta}I_{ym}\dot{\theta}^2 + \frac{1}{2G(\theta)}\{-I'_{E12}\ddot{\psi} \sin \theta + (I'_{E22} + 2G^2(\theta)I_{ym})\ddot{\theta} + C_{yp} \operatorname{sgn}(\dot{\theta}) + [(I'_{E33} - I'_{E11}) \cos \theta + m_E r_x r_{c1} \dot{\psi}^2] \sin \theta + m_E g r'_{c1} \cos \theta\} \quad (47)$$

روابط (۲۸) و (۴۷) را می‌توان به صورت شکل‌های ۵ و ۶ که به ترتیب دیاگرام بلوکی کانال سمت و فراز نامیده می‌شود، نمایش داد. در این شکل $I_E(\theta)$ به صورت زیر تعریف می‌شود.

$$I_E(\theta) = I'_{E22} + 2G^2(\theta)I_{ym} \quad (48)$$

۵- نتایج شبیه‌سازی و عملی

برای ارزیابی مدل‌سازی انجام شده خروجی مدل و خروجی حاصل از سیستم عملی با یکدیگر مقایسه شده است. شکل ۷ نتایج حاصل از مدل و سیستم عملی را برای ورودی گشتاور که دارای شکل موج پالسی می‌باشد را نشان می‌دهد. همان‌طور که مشاهده می‌شود، نتایج مدل‌سازی و داده‌های عملی بسیار به یکدیگر نزدیک است.